

УДК 519.6

СПОСОБ СТАБИЛИЗАЦИИ СЕТОЧНО-ХАРАКТЕРИСТИЧЕСКИХ СХЕМ ДЛЯ УРАВНЕНИЙ ГАЗОДИНАМИКИ

А. В. Сафронов¹

Рассмотрен алгоритм подавления нефизических скачков, возникающих при расчете зон разрежения сеточно-характеристическим методом в случае смены знака характеристик.

Ключевые слова: газодинамика, задача Римана, распад произвольного разрыва, схема Годунова, сеточно-характеристический метод, зоны разрежения.

1. Постановка задачи. Схема С. К. Годунова численного решения уравнений газодинамики является наиболее эффективной с точки зрения точности и надежности получения решений сложных течений. Метод основан на аппроксимации параметров на границах ячеек разностной сетки с помощью точного решения задачи Римана о распаде газодинамического разрыва. Схематически начальный разрыв газа с различными состояниями в левом и правом полупространстве распадается на три волны: на левую волну, контактный разрыв и правую волну. В зависимости от начального перепада давления левые и правые волны могут быть как волнами разрежения, так и ударными волнами. Точное решение задачи о распаде разрыва требует трудоемкого решения нелинейной системы уравнений методом итераций.

В настоящей статье рассматриваются консервативные варианты сеточно-характеристических методов (СХМ), предложенных в [1–4], которые интерпретируются как схемы с аппроксимацией параметров на границах ячеек разностной сетки на основе приближенного решения задачи о распаде разрыва. Аппроксимация в рамках СХМ соответствует линеаризованному решению задачи о распаде разрыва с двумя скачками типа ударных волн. Данные схемы экономичны и в ряде случаев эффективны, однако в связи с тем, что волны разрежения в задаче распада разрыва не учитываются в случае смены знака характеристик, в численных расчетах появляются нефизические скачки. Достаточно полный обзор СХМ и способов устранения нефизических решений можно найти в работах [5, 6]. В настоящей работе представлен новый способ устранения указанных недостатков СХМ.

2. Разностная схема. Кратко опишем численный метод на примере нестационарных одномерных уравнений газодинамики

$$U_t + F_x = 0, \quad U = \{\rho, \rho u, \rho E\}^T, \quad F(U) = \{\rho u, \rho u^2 + P, \rho u E + P u\}^T, \quad (1)$$

где U — вектор консервативных переменных, F — вектор потока, ρ — плотность газа, u — скорость, P — давление, $E = \frac{P}{\rho(\gamma - 1)} + \frac{u^2}{2}$ — полная внутренняя энергия на единицу объема, γ — показатель адиабаты.

Разностную схему запишем в консервативном виде: $U_i^{n+1} = U_i^n - \frac{\Delta t}{\Delta x} (F_{i+1/2} - F_{i-1/2})$, где n — номер шага по времени с интервалом Δt , i — номер ячейки сетки по оси x с разбиением Δx .

В рамках СХМ поток на границах ячеек $F_{i+1/2}$ представляется в виде

$$F_{i+1/2} = \frac{1}{2} (F_{i+1} + F_i) - \frac{1}{2} D_{i+1/2} (U_{i+1} - U_i), \quad (2)$$

где D — диссипативная матрица.

Введем в рассмотрение якобиан $A = \frac{\partial F}{\partial U}$. В силу гиперболических свойств уравнений (1) матрица A имеет действительные собственные значения, полный набор собственных векторов и представляется в виде $A = R^{-1} \Lambda R$. Здесь $\Lambda = \text{diag}(u - c, u, u + c)$ — диагональная матрица собственных значений, соответствующих наклонам характеристик, c — скорость звука, H — полная энтальпия, R — матрица собственных векторов и

$$R^{-1} = \begin{pmatrix} 1 & 1 & 1 \\ u - c & u & u + c \\ H - uc & u^2/2 & H + uc \end{pmatrix}.$$

¹ Центральный научно-исследовательский институт машиностроения (ЦНИИМаш), ул. Пионерская, д. 4, г. Королев, 141070, Московская область; e-mail: a_safron@korolev-net.ru

Согласно СХМ диссипативная матрица определяется следующим образом:

$$D_{i+1/2} = R^{-1}|\Lambda|R, \quad (3)$$

где $|\Lambda| = \text{diag}(|u - c|, |u|, |u + c|)$.

В работе [1] компоненты матрицы A при вычислениях (3) определяются арифметическим осреднением по параметрам в соседних ячейках сетки. В работе [2] предложен специальный выбор аппроксимации матрицы A с точным выполнением соотношений:

$$F(U_{i+1}) - F(U_i) = A(U_{i+1}, U_i)(U_{i+1} - U_i).$$

Выражения для расчета компонентов матрицы $A(U_{i+1}, U_i)$ согласно “осреднению” Roe [2] имеют вид: $u = \frac{su_{i+1} + u_i}{s + 1}$,

$$H = \frac{sH_{i+1} + H_i}{s + 1}, \quad c^2 = (\gamma - 1)(H - u^2/2),$$

$$s = \sqrt{\frac{\rho_{i+1}}{\rho_i}}. \quad \text{В этом случае поток на границах ячеек (2) соответствует линеаризованному решению задачи о распаде разрыва с выполнением соотношений, одиночных на разрывах.}$$

Схема Roe хорошо зарекомендовала себя при расчете течений с ударными волнами и контактными разрывами, однако также имеет проблемы, связанные с отсутствием численной диссипации в областях с нулевыми собственными значениями матрицы A [5].

Алгоритмы, позволяющие устранить этот недостаток, обычно добавляют в указанных областях численную диссипацию путем корректировки способов вычисления величин собственных значений (процедуры “энтропийной” коррекции), а также включают в рассмотрение “звуковую точку” [5, 6]. Однако в работе [6] показано, что имеющиеся способы не гарантируют получения решения СХМ в случае расчета зон сильного разрежения.

Алгоритмы, позволяющие устранить этот недостаток, обычно добавляют в указанных областях численную диссипацию путем корректировки способов вычисления величин собственных значений (процедуры “энтропийной” коррекции), а также включают в рассмотрение “звуковую точку” [5, 6]. Однако в работе [6] показано, что имеющиеся способы не гарантируют получения решения СХМ в случае расчета зон сильного разрежения.

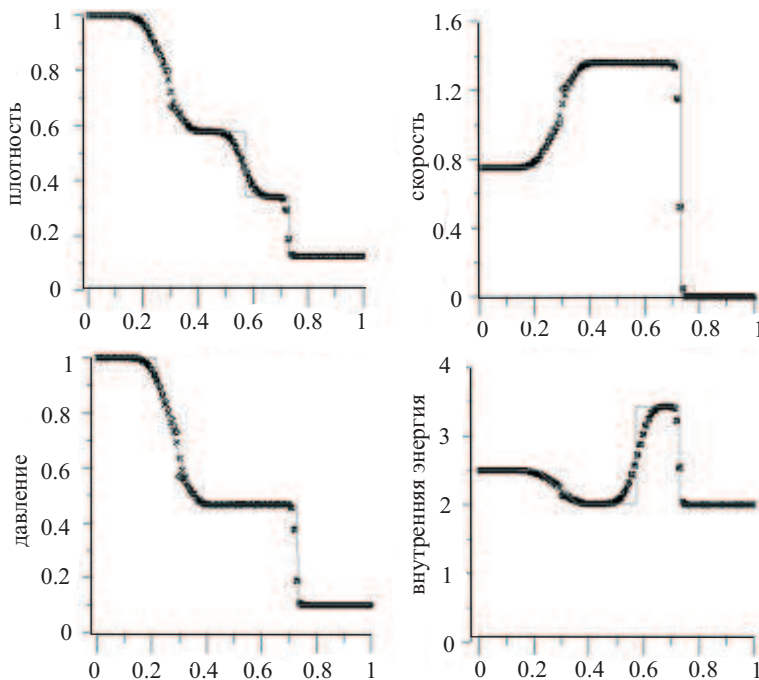


Рис. 1. Точное решение (—), схема Roe (o), схема Roe+Stab (x)

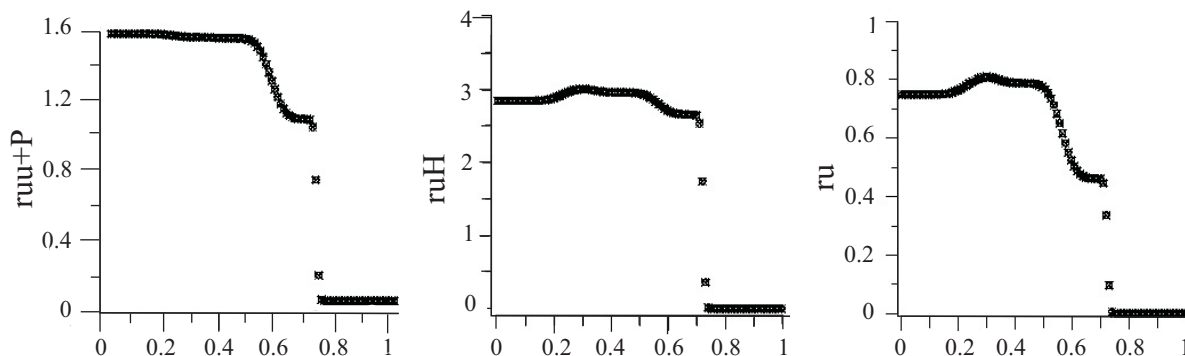


Рис. 2. Схема Roe (o), схема Roe+Stab (x)

3. Способ регуляризации СХМ. В настоящей работе предлагается следующий “стабилизатор” для подавления нефизических численных решений, появляющихся в СХМ при смене знака характеристик в зонах разрежения: $F_{i+1/2} = F_{i+1/2}^{\text{Roe}} + \text{Stab}_{i+1/2}$, где $F_{i+1/2}^{\text{Roe}}$ – аппроксимация параметров на границах ячеек по схеме [1, 2], Stab – “стабилизатор”, имеющий вид

$$\text{Stab}_{i+1/2} = \begin{cases} F\left(\frac{U_i + U_{i+1}}{2}\right) - \frac{F_i + F_{i+1}}{2}, & u_{i+1} - u_i > 0, \\ 0, & u_{i+1} - u_i < 0. \end{cases} \quad (4)$$

Как показывает линеаризованный анализ, оператор (4) дает численную диссипацию $\sim \Delta u$ в зонах разрежения (при $\Delta u = u_{i+1} - u_i > 0$). Поскольку на контактных разрывах $\Delta u = 0$, то в этом случае диссипация в (4) отсутствует. На ударных волнах ($\Delta u < 0$) оператор (4) равен 0. Основное сглаживающее свойство (4) состоит в следующем. В зонах появления нефизических скачков при смене знака характеристик составляющие вектора потока не претерпевают разрыв, а скачок “простых” переменных обусловлен тем, что заданный вектор потока допускает два решения, которые соответствуют дозвуковому и сверхзвуковому течению. Оператор (4) дает численную диссипацию, пропорциональную разности величин скоростей в этих нефизических решениях, и, тем самым, сглаживает скачок.

Как показывают численные расчеты, диссипативные свойства оператора (4) увеличиваются, если вместо вектора консервативных переменных U используется вектор Roe:

$$Y = \{\sqrt{\rho}, \sqrt{\rho}u, \sqrt{\rho}H\}^T.$$

Кроме того, в численных расчетах зон разрежения существенно улучшает результаты ограничение, обеспечивающее положительность аппроксимации импульса [7]:

$$(\rho u^2 + P)_{i+1/2} = \max((\rho u^2 + P)_{i+1/2}, \text{fix}), \quad \text{где } \text{fix} = 10^{-6}. \quad (5)$$

4. Результаты численных расчетов. В качестве иллюстрации на рис. 1–4 приведены результаты расчетов одномерных тестовых задач работы [6], решение которых сеточно-характеристическими методами вызывает трудности. Для сравнения на рис. 3 и 4 приведены результаты расчетов по известной схеме Годунова [8]. Исходные данные задач помещены в таблице, где x_0 — начальное положение разрыва, t_k — конечное время.

Начальные условия: в момент времени $t = 0$ при $x < x_0$ параметры газа задавались равными величинам с индексом 1, при $x > x_0$ — величинам с индексом 2. Число разбиений $N = 100$, $\Delta x = 1/100$, $CFL = 0.9$.

Тест №	ρ_1	u_1	P_1	ρ_2	u_2	P_2	x_0	t_k
1	1	0.75	1	0.125	0	0.1	0.3	0.2
2	1	-2	0.4	1	2	0.4	0.5	0.15

На рис. 1–4 указаны также численные и аналитические параметры течения в момент времени t_k .

На рис. 1 приведены результаты расчетов теста 1, полученные по схеме [2, 3] и с учетом предложенного способа регуляризации (4). Как видно из рисунка, в расчетах по “классической” схеме [2, 3] при переходе звуковой точки в волне разрежения (смене знака характеристики $u - c$) появляется нефизический скачок, тогда как применение “стабилизатора” (4) устраняет его. На рис. 2 показаны изменения составляющих вектора потока. Видно, что нефизических скачков потоков нет и в случае “классической” схемы Roe. Из данных рис. 1, 2 видно, что предложенный “стабилизатор” включается главным образом в зонах появления нефизических решений.

Как показано в работе [6], схема [2, 3] с различными имеющимися алгоритмами стабилизации не позволяет провести расчет теста 2. С применением соотношения (4) получено численное решение. На

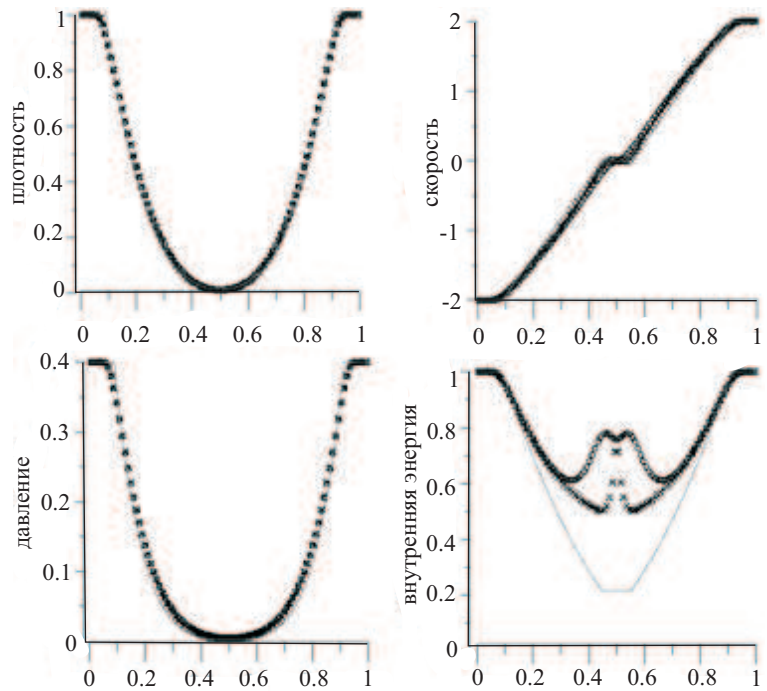


Рис. 3. Точное решение (—), схема Roe+Stab (o), схема Годунова (x)

рис. 3 приведены расчеты теста 2 по схеме Roe с учетом (4), а на рис. 4 — по схеме Roe с применением соотношений (4) и (5).

Из данных на рис. 4 видно, что ограничение (5) значительно улучшает результаты при расчете зон сильного разрежения. Этот факт относится и к другим разностным схемам газодинамики на основе приближенного решения задачи о распаде разрыва [7, 9].

Результаты расчетов, приведенные на рис. 4 по схеме Roe с использованием (4) и (5), близки к расчетам по схеме Годунова. При этом рассматриваемая схема в 3–4 раза экономичнее, чем схема [8] с аппроксимацией параметров на границах ячеек на основе точного итерационного решения задачи о распаде разрыва.

Таким образом, предложенный способ регуляризации позволяет адекватно проводить расчет зон сильного разрежения при смене знака характеристик, что значительно расширяет диапазон применимости сеточно-характеристических методов.

Рассмотренный подход эффективен также и для пространственных задач. Подпрограмма на языке FORTRAN для двумерного случая расчета потоков на границах ячеек сетки по схеме [3] с предложенными “заплатками” (4) и (5) может быть получена у автора настоящей статьи.

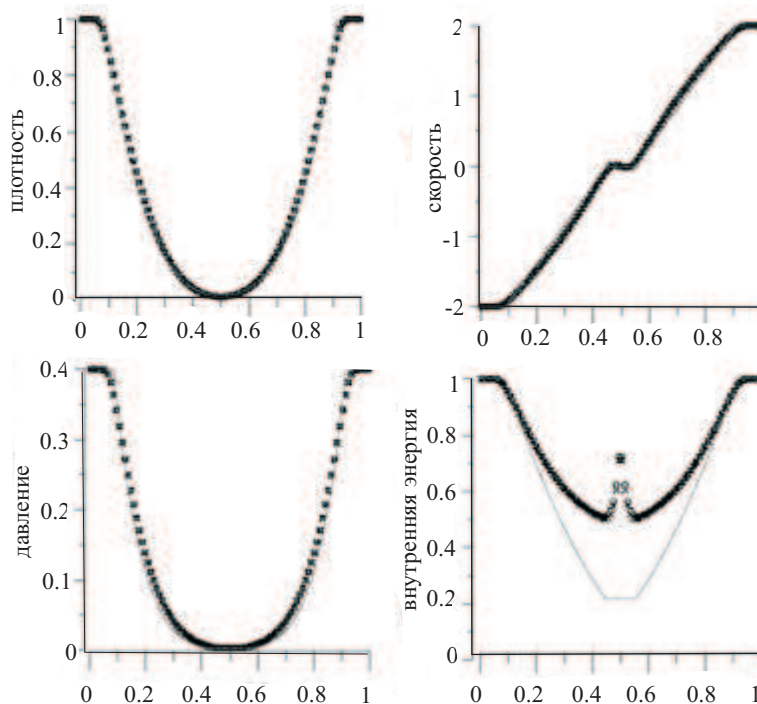


Рис. 4. Точное решение (—), схема Roe+Stab+fix (o), схема Годунова (x)

СПИСОК ЛИТЕРАТУРЫ

1. Холодов А.С. О построении разностных схем с положительной аппроксимацией для уравнений гиперболического типа // ЖВМ и МФ. 1978. **18**, № 6. 1476–1492.
2. Roe P.L. Approximate Riemann solvers, parameter vectors, and difference schemes // J. Comput. Phys. 1981. **43**. 357–372.
3. Roe P.L., Pike J. Efficient construction and utilization of approximate Riemann solutions // Computing Methods in Applied Sciences and Engineering VI. Amsterdam, 1984. 499–518.
4. Сафронов А.В. Применение консервативных вариантов сеточно-характеристического метода к расчету сверхзвуковых течений. Деп. в ЦНТИ “Поиск”; аннотирована в СИП, вып. 8. Москва, 1989.
5. Куликовский А.Г., Погорелов Н.В., Семенов А.Ю. Математические вопросы численного решения гиперболических систем уравнений. М.: Физматлит, 2001.
6. Toro E.F. Riemann solvers and numerical methods for fluid dynamics. Berlin: Springer-Verlag, 1999.
7. Сафронов А.В. Разностный метод решения нестационарных уравнений газодинамики на основе соотношений на разрывах // Космонавтика и ракетостроение. 2006. Вып. 2 (43). 152–158.
8. Годунов С.К. Разностный метод численного расчета разрывных решений уравнений гидродинамики // Матем. сборник. 1959. **47**, вып. 3. 271–306.
9. Сафронов А.В. Метод расчета струй продуктов сгорания при старте // Физико-химическая кинетика в газовой динамике. 2006. 4 (<http://chemphys.edu.ru/2006-10-23-001.pdf>).

Поступила в редакцию
01.12.2006